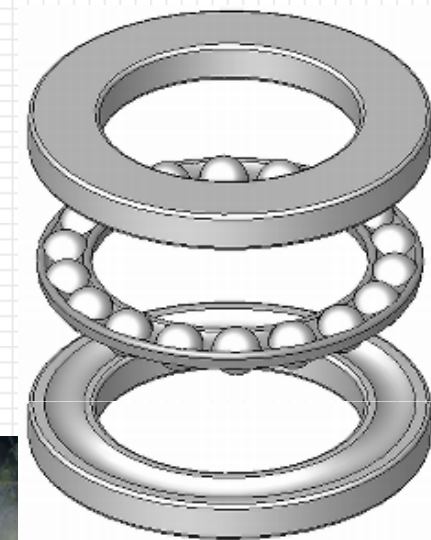
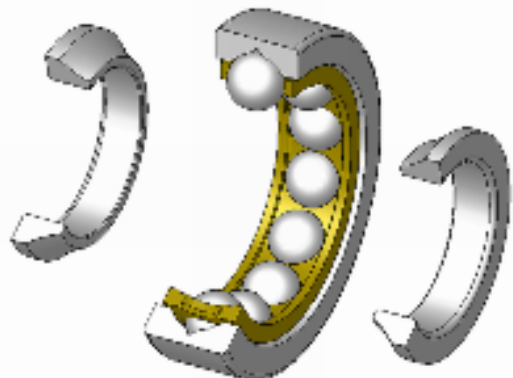
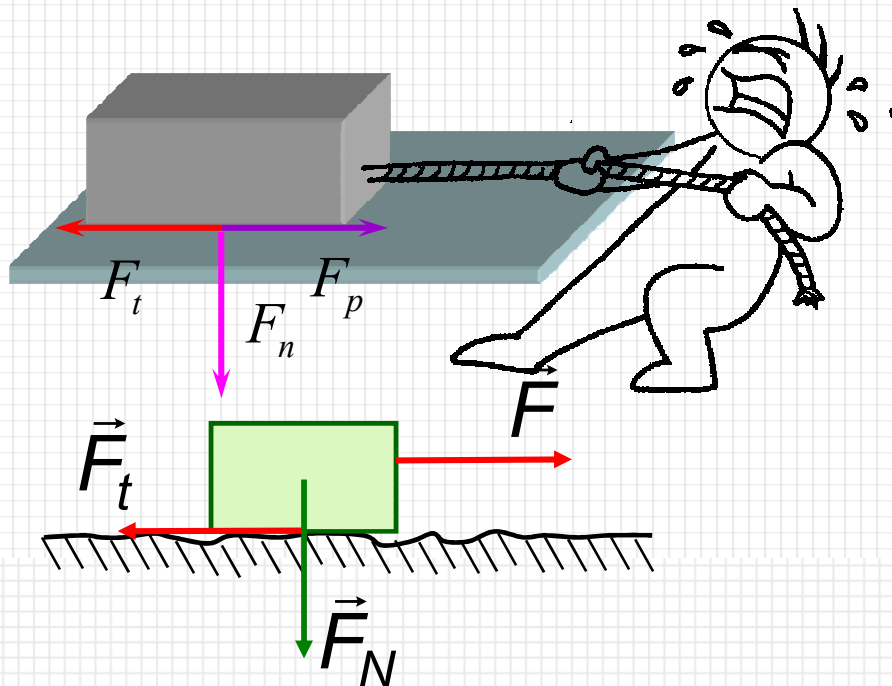


Trecie sily, trenie

Šmykové trenie statické a kinetické.
Valivé trenie.



Tretia sila kĺzavého pohybu



$$|\mathbf{F}_n| = |\mathbf{F}_g|$$

$$|\mathbf{F}_t| = \mu |\mathbf{F}_n|$$

$$F_t = \mu mg$$

μ ... koeficient kĺzavého trenia

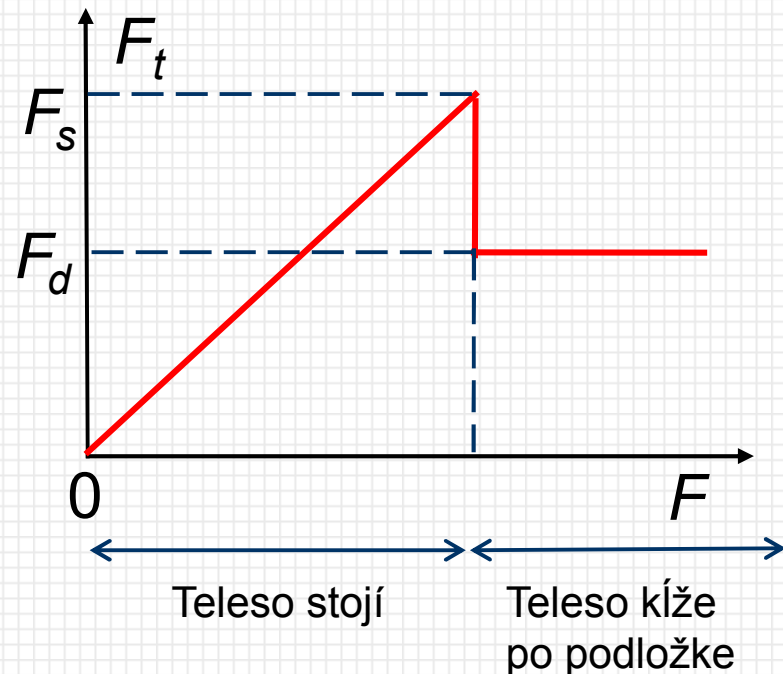
Príčina **kĺzavého trenia** je nerovnosť podložky.

Statické trenie

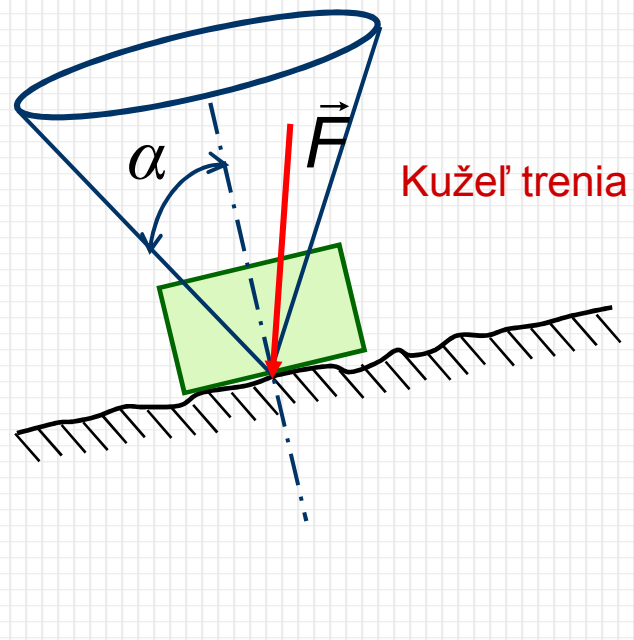
$$F_{s,\max} = \mu_s \cdot F_n$$

Dynamické trenie

$$F_d = \mu_d \cdot F_n$$



Tretia sila kĺzavého pohybu



Tabuľka koeficientov kĺzavého trenia vybraných materiálov:

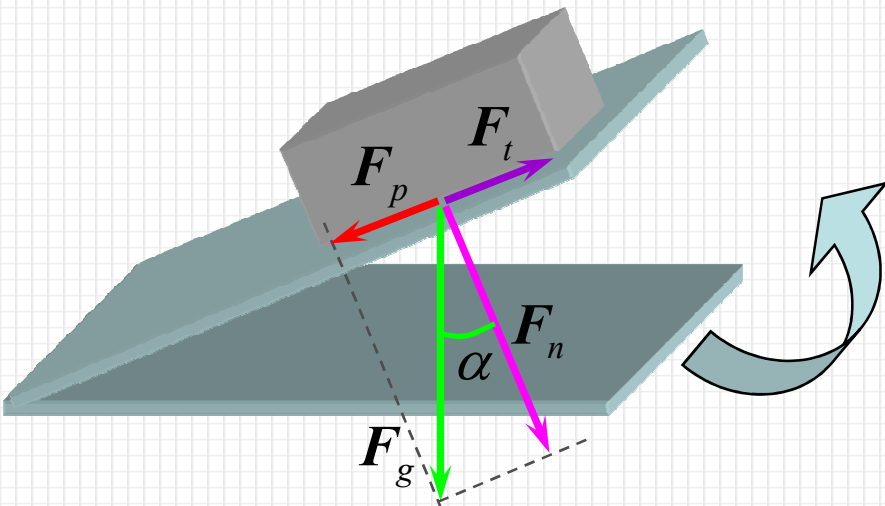
$$\mu_s > \mu_k$$

0,027	0,014	Ocel – ľad
0,11 - 0,30	0,07 - 0,25	Ocel – ocel
0,2 - 0,6	0,2 - 0,5	Kov – drevo
0,4 - 0,6	0,2 - 0,5	Drevo - drevo

pre zložky síl na naklonenej rovine platí:

$$|F_p| = |F_g| \sin \alpha$$

$$|F_n| = |F_g| \cos \alpha$$

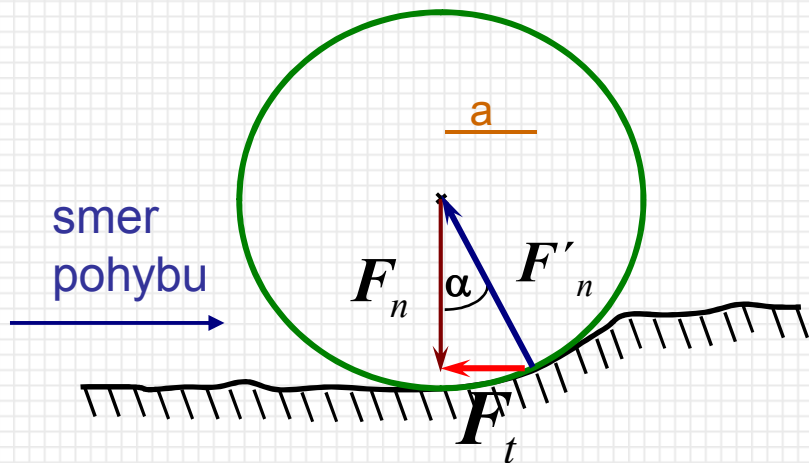


začne sa šmýkať keď:

$$|F_p| = |F_t|$$

~~$$mg \sin \alpha = \mu mg \cos \alpha$$~~

$$\mu = \frac{\sin \alpha}{\cos \alpha} = \operatorname{tg} \alpha$$



Sila valivého trenia: $F_t = F'_n + F_n$

Koeficient valivého trenia: $\mu_v = \frac{a}{r}$

μ_v nie je konštantný, závisí od zaťažovania podložky (od $\frac{F_n}{S}$)

Tretia sila:

$$F_t = \mu_v \cdot F_n$$

Príčina: - nedokonalá pružnosť podložky, dopružovanie

F_n - sila, s ktorou valec tlačí na podložku

F'_n - sila, s ktorou podložka pôsobí na valec

$$F'_n \neq F_n$$

$$F_t = F_n \cdot \operatorname{tg} \alpha \approx F_n \cdot \frac{a}{r}$$

r - polomer kolesa

a - kolmá vzdialenosť pôsobiska reakcie od miesta dotyku s podložkou

$$\mu_v$$

0,001 - 0,005	Kalené guľôčky na krúžkoch v ložisku
0,002 - 0,05	Ocel - ocel
0,02 - 0,03	Pneumatiky na asfalte
0,05 - 0,5	Drevo - drevo